



一种基于直流侧混合电压谐波注入的 低谐波串联 36 脉波整流器

作者：王英 王亚兰 陈小强 陈涛 母秀清

目录

- 1 研究意义和现状**
- 2 研究技术路线和具体步骤**
- 3 理论推导与仿真模型的搭建**
- 4 仿真对比结果及其半实物验证**

1 研究意义和现状

➤ 1.1 研究背景和意义

不控型串联回路型12脉波整流器因其结构简单，鲁棒性强等优点常被应用于电动车以及多电飞机电源变电等领域，但应用时网侧及直流输出侧含大量谐波，不符合行业标准，故需结合谐波抑制方案对其改进以满足不同工业场合谐波标准。

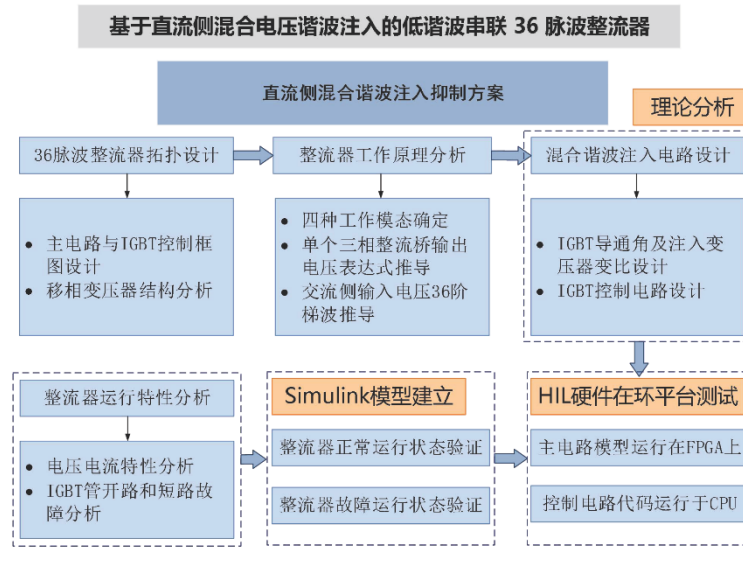
多脉波整流器谐波抑制方案		
被动型	主动型	
<ul style="list-style-type: none">□ 在交流侧设置滤波器以补偿网侧谐波□ 仅能抑制电气量部分特征次谐波含量，且易与系统中其他元件的电感电容等形成谐振，造成2次谐波污染，在当前MPRs谐波抑制场景中应用较少	<ul style="list-style-type: none">□ 在直流侧构造谐波注入回路以提升交流侧电气量脉波数□ 分为直流侧无源谐波注入，直流侧有源谐波注入及直流侧混合谐波注入方式□ 主电路无需增加额外整流桥	<ul style="list-style-type: none">◆ 单无源谐波抑制方式降谐能力有限，无法满足行业谐波标准◆ 双无源谐波抑制方式使用了两台单相变压器，提升降谐能力的同时牺牲了系统经济性和集约性◆ 有源谐波抑制方式减少了磁性器件的使用，但使用大量有源器件致系统稳定性降低

基于直流侧混合谐波抑制技术研究现状，从优化系统结构，提升器件利用率，增强系统稳定性，降低电能畸变出发，提出一种带直流侧混合电压谐波注入电路(Hybird Voltage Harmonic Injection Circuit, HVHIC)的低谐波串联36脉波整流器。



2 研究技术路线和具体步骤

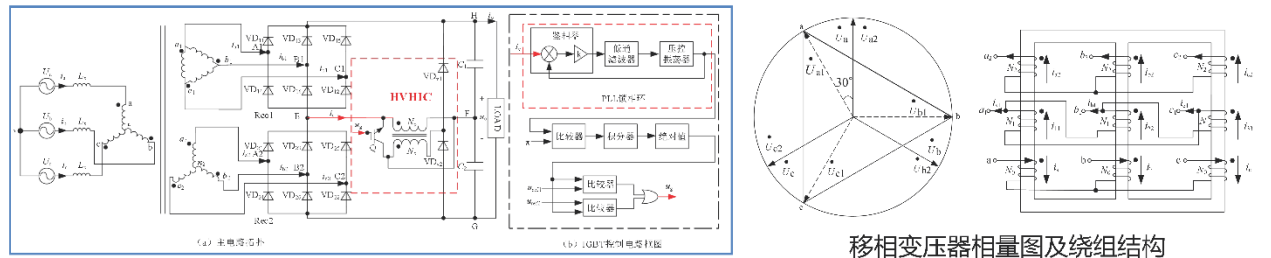
➤ 2.1 研究技术路线



2 研究技术路线和具体步骤

➤ 2.2 研究具体步骤

1. 设计基于直流侧混合电压谐波注入电路的电流源型串联36脉波整流器拓扑



2. 分析整流器工作机理

对HVHIC作用下四种工作模态分析，得到三相整流桥输出电压与输出电压 u_o 的数学关系；

结合电路运行机理推导交流侧输入电压阶梯波理论值



2 研究技术路线和具体步骤

➤ 2.2 研究具体步骤

3. 设计混合谐波注入电路

以交流侧输入电压THD最低为目标设计注入变压器变比；
分析IGBT控制原理，设计IGBT触发电路

4. 分析整流器运行特性

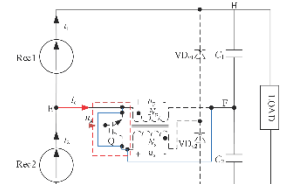
分析交流侧电压电流特性；
分析IGBT开路和短路故障下整流器运行特性

5. Matlab/Simulink建模验证

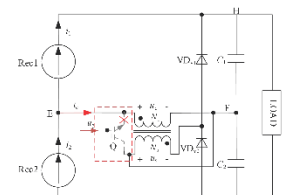
建立基于直流侧HVHIC的串联36脉波整流器模型并进行离线仿真测试；
测试正常运行状态及故障运行状态整流器工作特性

5.HIL硬件在环系统验证

验证正常运行状态整流器工作特性



IGBT短路故障时等效电路



IGBT开路故障时等效电路

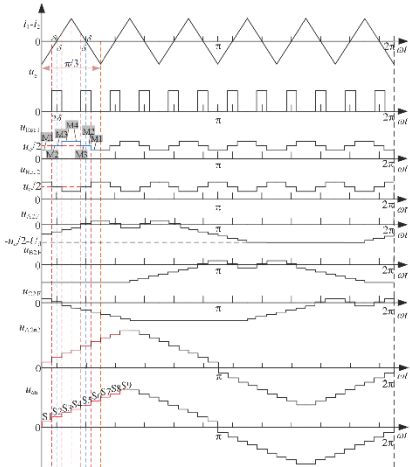


3

理论推导与仿真模型的搭建

➤ 3.1 基于直流侧HVHIC的串联36脉波整流器数学推导

交流侧输入电压36阶梯波形成过程



整流桥输出电压表达式计算

$$u_{\text{Rec1}} = \begin{cases} \frac{1-x}{2} u_o - x U_d, & \omega t \in [\frac{k\pi}{3}, \frac{k\pi}{3} + \frac{\pi}{12} - \delta) \\ \frac{u_o}{2}, & \omega t \in [\frac{k\pi}{3} + \frac{\pi}{12} - \delta, \frac{k\pi}{3} + \frac{\pi}{12} + \delta) \\ \frac{1+x}{2} u_o + x U_d, & \omega t \in [\frac{k\pi}{3} + \frac{\pi}{12} + \delta, \frac{k\pi}{3} + \frac{\pi}{4} - \delta) \\ \frac{u_o}{2}, & \omega t \in [\frac{k\pi}{3} + \frac{\pi}{4} - \delta, \frac{k\pi}{3} + \frac{\pi}{4} + \delta) \\ \frac{1-x}{2} u_o - x U_d, & \omega t \in [\frac{k\pi}{3} + \frac{\pi}{4} + \delta, \frac{k+1}{3}\pi] \end{cases}$$

$$u_{\text{Rec2}} = \begin{cases} \frac{1+x}{2} u_o + x U_d, & \omega t \in [\frac{k\pi}{3}, \frac{k\pi}{3} + \frac{\pi}{12} - \delta) \\ \frac{u_o}{2}, & \omega t \in [\frac{k\pi}{3} + \frac{\pi}{12} - \delta, \frac{k\pi}{3} + \frac{\pi}{12} + \delta) \\ \frac{1-x}{2} u_o - x U_d, & \omega t \in [\frac{k\pi}{3} + \frac{\pi}{12} + \delta, \frac{k\pi}{3} + \frac{\pi}{4} - \delta) \\ \frac{u_o}{2}, & \omega t \in [\frac{k\pi}{3} + \frac{\pi}{4} - \delta, \frac{k\pi}{3} + \frac{\pi}{4} + \delta) \\ \frac{1+x}{2} u_o + x U_d, & \omega t \in [\frac{k\pi}{3} + \frac{\pi}{4} + \delta, \frac{k+1}{3}\pi] \end{cases}$$

交流侧输入电压 U_{an} 阶梯波值

Tab.1 Step wave values of u_{an} in one quarter period		
编 号	区 间	u_{an} 取值
S1	$[\frac{2k\pi}{3}, \frac{2k\pi+\pi/12-\delta}{3}]$	$\left(\frac{2\sqrt{3}-3}{6} - \frac{2\sqrt{3}+3}{6}x\right)u_o + \left(\frac{4\sqrt{3}-6}{3} - \frac{2\sqrt{3}+3}{3}x\right)U_d$
S2	$[\frac{2k\pi+\pi/12-\delta}{3}, \frac{2k\pi+\pi/12+\delta}{3}]$	$\frac{2\sqrt{3}-3}{6}u_o + \frac{4\sqrt{3}-6}{3}U_d$
S3	$[\frac{2k\pi+\pi/12+\delta}{3}, \frac{2k\pi+\pi/6}{3}]$	$\left(\frac{2\sqrt{3}-3}{6} + \frac{2\sqrt{3}+3}{6}x\right)u_o + \left(\frac{4\sqrt{3}-6}{3} + \frac{2\sqrt{3}+3}{3}x\right)U_d$
S4	$[\frac{2k\pi+\pi/6}{3}, \frac{2k\pi+\pi/4-\delta}{3}]$	$\left(\frac{3-\sqrt{3}}{6} - \frac{3+\sqrt{3}}{6}x\right)u_o + \left(\frac{6-2\sqrt{3}}{3} - \frac{\sqrt{3}+3}{3}x\right)U_d$
S5	$[\frac{2k\pi+\pi/4-\delta}{3}, \frac{2k\pi+\pi/4+\delta}{3}]$	$\frac{3-\sqrt{3}}{6}u_o + \frac{6-2\sqrt{3}}{3}U_d$
S6	$[\frac{2k\pi+\pi/4+\delta}{3}, \frac{2k\pi+\pi/3}{3}]$	$\left(\frac{3-\sqrt{3}}{6} + \frac{3+\sqrt{3}}{6}x\right)u_o + \left(\frac{6-2\sqrt{3}}{3} + \frac{\sqrt{3}+3}{3}x\right)U_d$
S7	$[\frac{2k\pi+\pi/3}{3}, \frac{2k\pi+5\pi/12-\delta}{3}]$	$\left(\frac{\sqrt{3}}{6} - \frac{\sqrt{3}}{6}x\right)u_o + \left(\frac{2\sqrt{3}}{3} - \frac{\sqrt{3}}{3}x\right)U_d$
S8	$[\frac{2k\pi+5\pi/12-\delta}{3}, \frac{2k\pi+5\pi/12+\delta}{3}]$	$\frac{\sqrt{3}}{6}u_o + \frac{2\sqrt{3}}{3}U_d$
S9	$[\frac{2k\pi+5\pi/12+\delta}{3}, \frac{2k\pi+\pi/2}{3}]$	$\left(\frac{\sqrt{3}}{6} + \frac{\sqrt{3}}{6}x\right)u_o + \left(\frac{2\sqrt{3}}{3} + \frac{\sqrt{3}}{3}x\right)U_d$



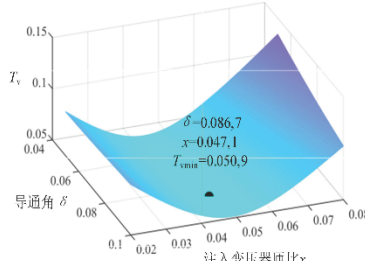
3

理论推导与仿真模型的搭建

➤ 3.1 基于直流侧HVHIC的串联36脉波整流器数学推导

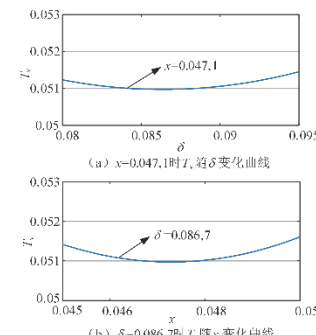
IGBT导通角及注入变压器匝比设计

结合串联型36脉波整流器特性，以交流侧输入电压THD值最小为目标，优化设计IGBT导通角 δ 及注入变压器匝比 x 的取值。



交流侧输入电压 U_{an} 的THD值 (记为 T_v)
计算公式：

$$T_v = \frac{\sqrt{2U_{an}^2 - U_{ans1}^2}}{U_{ans1}}$$



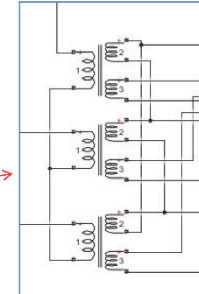
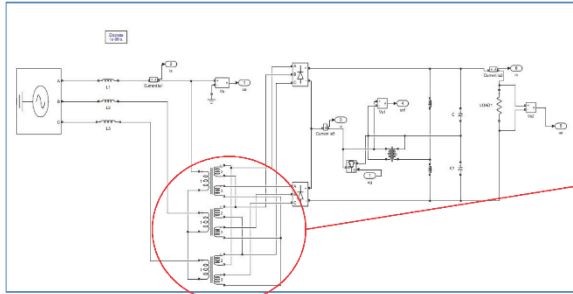
x 和 δ 在一定误差限内变化对 T_v 影响较小，
 x 与 δ 值的设计存在容许误差限。



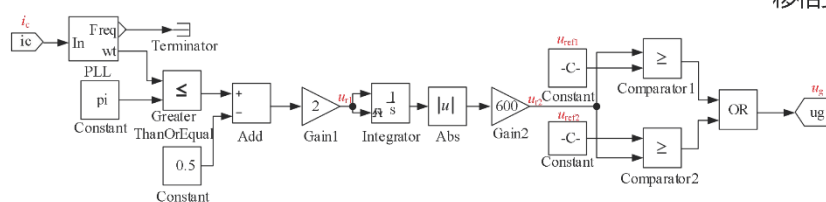
3 理论推导与仿真模型的搭建

➤ 3.2 仿真模型搭建

整流器主电路模型

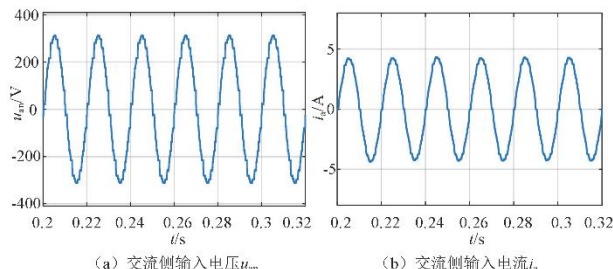


IGBT控制模型

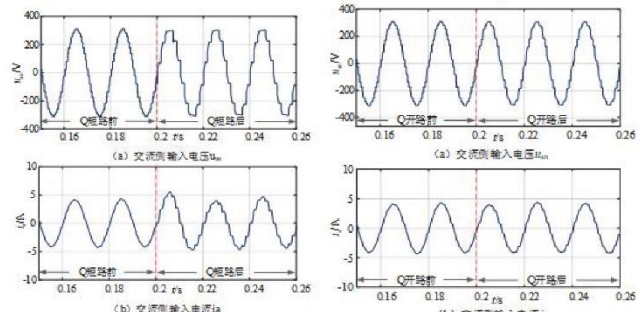


4 仿真对比结果及其半实物验证

➤ 4.1 Matlab/Simulink平台仿真结果对比



正常运行状态仿真波形



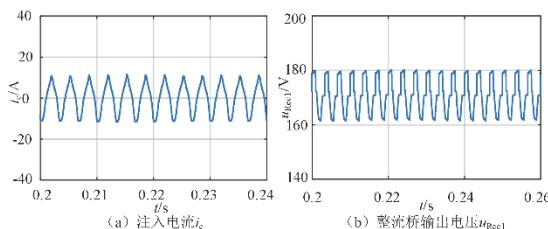
故障状态仿真波形

观察可知，由于IGBT存在通态压降，交流侧输入电压 u_{an} 在不同模态（2和3）的导通时间存在差异，但波形特征仍为接近正弦的36阶梯波。由于输入电感 L_s 的存在，交流侧输入电流 i_a 波形畸变低于 u_{an} ， u_{an} 和 i_a 的THD值分别为5.07%和3.28%，与理论值接近。

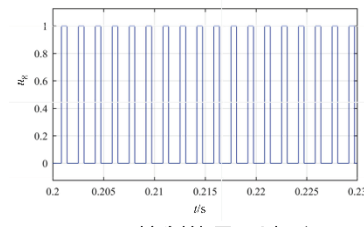
当整流器在 $t=0.2s$ 发生短路故障时，整流器将以基础12脉波整流器特性运行，交流侧输入电压的阶梯数将由36降至12，交流侧电压和电流畸变增大，对应的THD值分别为10.53%和8.76%；当整流器在 $t=0.2s$ 发生开路故障时，整流器将以24脉波整流器特性运行，交流侧输入电压的阶梯数将由36降至24，交流侧电压和电流畸变增大，对应的THD值分别为6.25%和4.82%。

4 仿真对比结果及其半实物验证

➤ 4.1 Matlab/Simulink平台仿真结果对比



i_c 为频率 300Hz 的三角波，与理论波形一致。
 u_{rect1} 呈现三阶梯特性，且其电平值与理论分析一致。

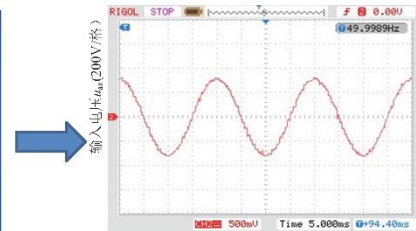
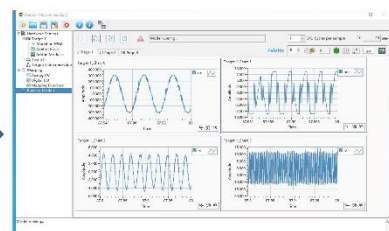
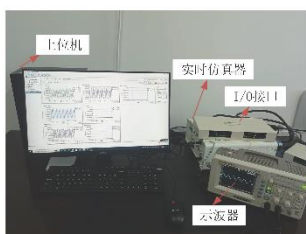


u_g 波形频率为 600Hz， u_g 送至管 Q 棚极，可使整流器按理论分析的四种工作模式切换运行。



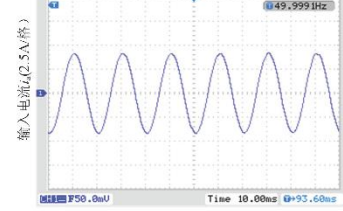
4 仿真对比结果及其半实物验证

➤ 4.2 HIL 硬件在环平台验证



主电路模型运行于FPGA上；控制电路模型编译后运行于CPU上

对应的部分测试波形（交流侧 u_a 和 i_a ）特征与理论分析及 Simulink 仿真波形一致，且符合低谐波特性。



作者简介

王英 男，1978年生，副教授，研究方向为电能质量管理及能源互联。

王亚兰 女，1995年生，硕士研究生，研究方向为电能变换及谐波抑制。

陈小强 男，1966年生，教授，博士生导师，研究方向为电能质量分析与控制。

陈涛 男，1995年生，博士研究生，研究方向为电能质量管理。

母秀清 女，1985年生，硕士，研究方向为电气化铁路车网耦合系统稳定性分析。



感谢您的观看！

作者：王英 王亚兰 陈小强 陈涛 母秀清